

螢光「카메라」像에 依한 正常肝의 前面形態에 關한 研究(豫報)

漢陽大學校 醫科大學 內科學教室

張 高 昌 · 朴 鍾 仁 · 金 鍾 高

原子力病院

李 眞 悟 · 李 章 圭

=Abstract=

A Clinical Study on the Shape of Normal Liver by Scintiphoto

Kochang Chang, M.D., Jong In Park, M.D., Chong Suhl Kim, M.D.

Department of Internal Medicine, Han Yang University Hospital

Jin Oh, Lee, M.D. M.D. Jang Kyu, Lee, M.D.

Cancer Hospital

Korea Atomic Energy Research Institute.

A knowledge of the wide ranges in shape of liver is important in the interpretation of hepatic scintigraphy as some variants may be easily confused with pathological abnormalities.

In this study, the variations in shape in 250 cases of normal liver obtained by scintiphoto were categorized into 9 types by means of the arbitrary standard for classification.

Following were the results;

1) Among 250 normal cases, type 5 was 118(47.2%) with the highest prevalence and type 3 was 2 (0.8%) with the lowest.

2) A high incidence of obesity was noted in type 1, type 4 and type 8.

That of ideal weight was noted in type 2, type 5 type 6 and type 9.

3) A high ratio of cardiac impression in scintiphoto was noted in type 4, type 7 and type 8.

That of square left lobe was noted in type 2, type 6 and type 9.

Finally that of tailed left lobe was in type 4, type 7 and type 8.

肝走査를 利用하여 肝容積을 算出하는 方法을 提起하고 있다.

그러나 肝臟은 自體疾患에 依하여 形態나 크기가 變化되기 쉽고, 正常肝에 있어서도 周圍臟器에 依한 解剖學的構造에 依하여 影響을 받아 그 形態가 多樣하며 이로 因한 肝走査의 前面像도 또한 多樣하게 反映된다.

從來에 分類된 前面像是은 여러 前面圖를 作圖하여 이에 유사한 것으로 區分하는 것이었으나, 著者들은 任意의으로 設定하기는 하였으나 一定한 基準에 依한 分

1. 緒 論

核醫學의 發達로 여러臟器가 解像되게 되었다. 肝臟도 1953年 Stirrett 等¹⁾이 走査를 試圖한 以來 여러 器機가 開發되어 滿足스럽게 解像되고 있다.

肝走査像을 利用하여 Caroli 等²⁾은 正常肝의 前面形態를 分類하였고, Rosenfield 等³⁾은 前面形態의 變化를 利用한 臨床의 判定을 試圖하였으며 여러著者들^{4~6)}

類를 試圖하였으며, 肝走査와 診斷上 多少差가 있기는 하나⁷⁾ 形態觀察에는 對等한 螢光카메라像(scintiphoto)를 利用하여 몇 가지 지점을 얻었기에 이에 豫報로써 보고하는 바이다.

2. 對象과 方法

對象: 肝疾患에 대한 既往歴이 없는 健康한 男子를 대상으로 하였다.

約 2,000예 중에서 이보고에서는 250예를 대상으로 하였다.

方 法

1) 檢查方法

가) 膠質形放射性金(¹⁹⁸Au-colloid) 200uCi를 靜脈注射한지 30分後에 Picker 社의 螢光「카메라」인 dynacamera로 간촬영을 하였다.

이때 collimator는 multihole을 利用하고 polaroid film은 107형을 使用하였다.

나) 被檢者에 對하여는 無作爲로 理學的検查 및 肝機能検査를 84例에서 實施하였다.

2) 分類方法

그림 1(Fig. 1)에서와 같이 右葉을 三角形模樣의 卵形으로 看做하고 中央線인 長軸의 길이를 測定하고 그長軸의 中央點에서 長軸과 垂直이 되게 橫線을 그어서 이를 橫軸으로 하였다.

螢光「카메라」像에서의 肝右葉에서 測定된 이 橫軸의 길이가 長軸의 40%未滿인 것은 群 1, 40~55%까지를 群 2 그리고 55%以上인 것을 群 3이라 하였다.

左葉의 分류는 다음과 같다. 即 右葉內에서 가장 큰 三角形을 그리고 그 三角形의 延長線을 그어서 左葉上端까지의 길이를 求하고 右葉과 左葉이 接合되는 左葉의 下部에서 垂直으로 그어서 上端에 이르는 거리를 求한 다음 後者(d)가 前者(c)의 $\frac{1}{3}$ 以內인 것을 群 1, $\frac{1}{3} \sim \frac{2}{3}$ 까지를 群 2 그리고 $\frac{2}{3}$ 以上인 것을 群 3이라 하-

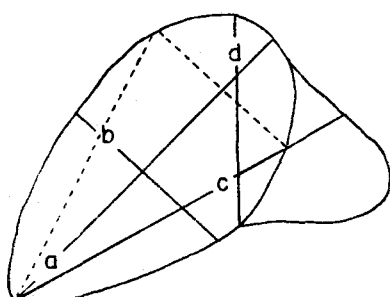


Fig. 1.

었다.

따라서 右葉과 左葉의 分類를 合친 것으로는 9種類가 되었다.

3. 成 績

被檢者는 全員男性이었으며 年齡分布는 表 1에서와 같이 30代에서 176例(70.4%)로 제일 많았고 50代가 3例로 가장 적었으며 20代와 40代는 각각 35例(14%)와 36例(14.4%)이었다.

著者들이 設定한 基準에 依한 分布는 表 2에서와 같이 右葉 2群 및 左葉 2群(以下 2-2로 略記)이 118例로 가장 많았으며 다음이 1-2와 2-3이 각각 40例(16%)와 39例(15.6%)이었으며, 3-2가 19例(7.6%), 2-1이 13例(5.2%), 1-1이 9例(3.6%), 3-3이 7例(2.8%)이었으며 3-1과 1-3이 각각 3例(1.2%)와 2例(0.8%)로 가장 적었다.

韓國의 標準體重⁸⁾를 適用한 被檢者는 表 3에서와 같이 標準體重이 148例(59.2%), 過體重이 51例(20.4%), 肥滿이 43例(17.2%) 그리고 體重未達이 8例(3.2%)이었다.

體重分布와 肝型分布와의 關係는 表 4에서 보는 바와 같이 被檢者의 平均值보다 標準體重群이 1-2, 2-2 및 3-1에서 多少높았고 肥滿은 1-1, 2-1 및 3-2에서 多少높았다.

또한 各型에 있어서 甚한 cardiac impression, 四角型左葉 및 尾樣左葉의 頻度는 表 5에서 보는 바와 같이 3-1에서는 例數가 적기는 하나 3例全例에서 cardiac impresion(C 라略) 尾樣左葉(T 라略)이 있었고 左葉群2에서는 右葉의 幅이 클수록 即 1-2, 2-2, 3-2로 色々록 四角左葉(Q 라略)이 37.5%(40例中 15例), 21.2%(118例中 26例), 10.5%(19例中 2例)로 감소하고 T는 2.5%(40例中 1例), 10.2%(118例中 12例), 21.1%(19例中 4例)로 增加되었다. Q는 1-2에서 37.5% 2-3에서 52.6%(39例中 21例) 3-3에서 42.9%(7例中 3例)로 頻度가 높았으며 그 가운데에서도 2-3에서 52.6%로 가장

Table 1. Age distribution

Age	No. of case
21~30	35(14%)
31~40	176(70.4%)
41~50	36(14.4%)
51~60	3(1.2%)
Total	250

Table 2. Pattern distribution

Lt lobe \ Rt lobe	Group 1	Group 2	Group 3	Total
Group 1	9(3.6%)	40(16%)	2(0.8%)	51(20.4%)
Group 2	13(5.2%)	118(47.2%)	35(15.6%)	170(68%)
Group 3	3(1.2%)	19(7.6%)	7(2.8%)	29(11.6%)
	25(10%)	177(70.8%)	48(19.2%)	250(100%)

Table 3. Body weight distribution

	Underweight	Ideal B.W.	Overweight	Obesity	Total
No. of case	8(3.2%)	148(59.2%)	51(20.4%)	43(17.2%)	250

Table 4. Body weight and pattern distribution

Lt lobe \ Rt lobe	Group 1	Group 2	Group 3
Group 1	I. 3(33.3%)	U. 1(2.5%)	I-1(50%)
	9 O. 3(33.3%)	40 I. 26(65.0%)	2 O-1(50%)
	B. 3(33.3%)	O. 5(12.5%)	B-0(0%)
Group 2	I. 4(30.8%)	U. 5(4.2%)	U-1(2.6%)
	13 O. 5(38.2%)	118 I. 77(65.2%)	I-23(59%)
	B. 4(30.8%)	O. 20(16.9%)	O-9(23%)
Group 3	I. 0(0%)	19 U. 1(5.3%)	I-5(71.4%)
	3 O. 3(100%)	I. 9(47.1%)	7 O-2(28.6%)
	B. 0(0%)	O. 3(15.7%)	B-0(0%)
		B. 6(31.6%)	

U=Underweight

I=Ideal weight

O=Overweight

B=Obesity

Table 5. Distribution of additional configuration

Lt \ Rt	Group 1	2	3
Group 1	C 2(22%)	C 4 (10%)	C 0
	9 Q 0	40 Q 15(37.5%)	2 Q 0
	T 0	T 1 (2.5%)	T 0
2	C 5(38.4%)	C 10 (8.5%)	C 3 (7.7%)
	13 Q 2(15.4%)	118 Q 26(21.2%)	39 Q 21(52.6%)
	T 2(15.4%)	T 12(10.2%)	T 1 (2.5%)
3	C 3 (100%)	C 8(42.1%)	C 1(14.3%)
	3 Q 0	19 Q 2(10.5%)	7 Q 3(42.9%)
	T 3 (100%)	T 4(21.1%)	T 0

C=Cardiacimpression

Q=Quadratate left lobe

T=Tailed left lobe

Table 6. Result of liver function test

No. of case	Bilirubin	Alk. Phos. (B.L. unit)	S.G.O.T.	S.G.P.T.	Palpate liver	Palpate spleen	Age
84	<1.2 80 (95.2%)	<2.5 76 (90.5%)	<40 80 (95.2%)	<40 82 (97.6%)			range 1-58
	>1.2 4 (4.8%)	>2.5 8 (9.5%)	>40 4 (4.8%)	>40 2 (2.4%)	7 (8.3%)	0	mean 39.8

높았다.

이들例에서 실시된化學的肝機能検査 및理學的所見은表6에서 보는바와같이bilirubin의total이1.2以上인것은84例中4例(4.8%)alkalinephosphatase(bessaylowryunit)가2.5以上인例가8例(9.5%)SGOT는40unit以上이4例(4.8%),SGPT는40unit以上이2例(2.4%)이었으며肝이축지되는例數는7例(8.3%)이었고脾가축지되는例는없었다.

4. 考 接

肝走査는1953年Stirrett等¹⁰이紹介한以來크게向上發展되어臨床에서常用検査化되었으며그一次的目的은肝의크기,位置및形態의把握과肝內空間占有病巢의發見과診斷에있다^{9~11}. 그러나近來에는肝機能判定에도活用되고있다^{12~14}.

螢光「카메라」를利用한scintiphoto도臨床의利用이增大되고있으며外國에서의利用率은더욱높다. 螢

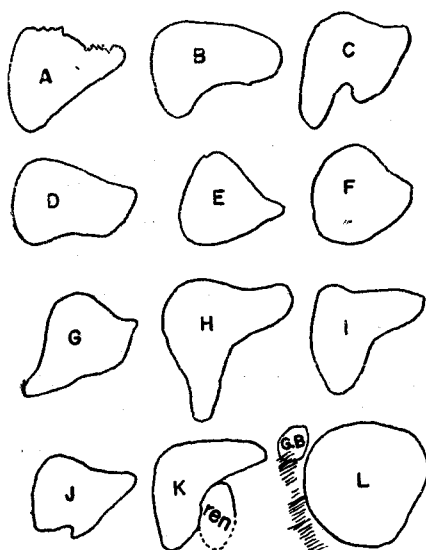


Fig. 2

光「카메라」는力學的検査뿐만아니라靜像도얻을수있다. 靜像에서^{99m}Tc를利用하면오히려肝走査에서보다成績이優秀하고¹⁵膠質形放射性金을利用할때는다소못하나?肝의形態를把握하는데는큰差가없다.

肝은여러臟器와이웃하고있고順應性이커서周圍臟器의解剖學의條件에依하여影響을받으며腹腔內右上部에서큰容積을갖이면서半月型을이루고있기때문에走査나scintiphoto에서의前面像이여러複合因子에依하여나타난다. 따라서前面像이多樣해지것은當然한일이다.

그러나臨床의으로前面像이가장意味가크고判讀을爲해서는특히正常에서의前面像에關한理解가要求된다.

1962年Caroli와Bonneville이66例의正常肝의前面走査像으로12型으로(Fig. 2)分類하고襄等¹⁶이追跡한바있다.

著者들은9가지型으로分類한바襄에서와같이Caroli와Bonneville이提示한12型中J.K.L는없으나G는勿論이고腎이除外된K도著者들의分類方法으로分類될수가있다.

著者들成績에서2-2,2-3및1-2의세형의總和가78.8%로대다수를차지하고있다. 2-2에해당하는Caroli와Bonneville의A는²²41%,襄等¹⁶은54.5%로著者에서의成績인47.2%와유사한值를나타냈다.

典型的인三角型모습은Caroli와Bonneville에서65%,襄等에서79.2%로著者成績인78.8%로이도유사한值를나타냈다.

Caroli와Bonneville의分類에서C는1-3,D는2-3내지3-3으로,E는3-1,G는1-3,H는1-1分類될수가있다.

體重과의關聯을보면例數는적으나1-1,2-1및3-2에서17%인被檢者의肥滿率(表3)보다높은肥滿率을나타내고있다. 이는大體적으로最多型인2-2에서보다右葉이左葉보다큰型에해당된다.

Cardiac impresion 이 혈저한 例도 2-1, 3-1, 3-2等右葉이 左葉보다 더큰 型에서 많았고 四角樣左葉은 1-2, 2-3, 3-3等 左葉이 2-2에서의 右葉보다 相對的으로 큰 型에서 많았고 尾樣左葉도 2-1, 3-1, 3-2等 右葉이 큰 型에서 많았다.

이들 被檢者들은 肝疾患의 前歷이 없었으며 理學的 檢查에서 8.3%가 肝은 축지 되었으나 脾는 축지 되지 아니하였다. 肝像이 현저히 異常했던 數例는 除外하고 transaminase, alkaline phosphatase 및 bilirubin 值를 測定하였던바 alkaline phosphatase는 9.5%에서 transaminase(SGOT)와 bilirubin은 4.8%에서 正常值를 超過하였으나 그 超過된 值는 微微하였다.

이런 檢查나 判定은 臨床의 으로도 그려하지만 實際 肝疾患群間에 走查로 檢查하면서 큰 意義가 있었던것은 alkaline phosphatase, SGOT 와 bilirubin 이었다는 의견을¹⁷⁾ 豪은 것이다.

앞으로 더욱 効率의 分類基準을 研究하여 全 2,000 例를 細密히 檢討分類하려고 하며 이에 앞서 250例에 對한 分類를豫報로써 發表하는 바이다.

5. 結論

膠質形放射性金과 dynacamera 를 利用하여 正常成人男子의 肝前面像을 얻고 이中 250例에 對하여 새로운 分類基準으로써 總 9 가지 種類로 肝前面을 形態의 으로 分類하여 다음과 같은 結論을 얻었다.

1. 第 5型(2-2)이 47.2% 차지 하였으며, 다음이 第 2型(1-2)과 第 6型(2-3)이 각각 16%와 15.6%를 차지하고 第 3型(1-3)이 0.8%로 가장 적었다.
2. 肥滿이 차지하는 率은 第 1型(1-1), 第 4型(2-1) 및 第 8型(3-2)에서 높았다.
3. 현저한 cardiac impression 은 第 7型(3-1), 第 8型(3-2), 第 4型(2-1) 順으로 많았고 四角樣左葉은 第 6型(2-3), 第 9型(3-3) 第 2 (1-2)順으로 많았고, 尾樣左葉은 第 7型(3-1), 第 8型(3-2) 第 5型(2-2)順으로 많았다.

- 1) Stirrett, L.H., Yuhl, E.T. and Carsen, B.: Clinical applications of hepatic radioactivity Survey. A.J. Gastro. 21:310, 1954.
- 2) Carol, J., and Bonneville, B.: Diagnostic value of hepatic scintillography. Arch. Mal. Appar. Dig. 51:55, 1962.
- 3) Rosenfield, A.T. and Schneider, P.B.: Rapid evaluation of hepatic size on radioisotope scan.

J.N.M. 15:237, 1974.

- 4) Yagan, R., MacIntyre, W.J. and Christie, J.H.: Estimation of liver size by multiple cut-off scintillation scanning technique. A.J. Roent 88:289, 1962.
- 5) Rollo, F.D. and Deland, F.H.: The determination of liver mass from radionuclide image. Radiology 91:1191, 1968.
- 6) Deland, F.H. and North, W.A.: Relationship between liver size and body size. Radiology 91:1195, 1968.
- 7) 장고창·김진의·이창규: 간및 갑상선의 주사상과 「카메라」상의 비교. 대한 내과학회잡지 14:367, 1971.
- 8) 徐舜圭, 宋熙昇, 金眞順, 李敬元, 李恒烈: 韓國의 標準體重值, 대한 내과학회잡지 14:9, 1971.
- 9) McAgee, J.G., Ause, R.G. and Wagner, H.N., Jr.: Diagnostic value of scintillation scanning of the Liver. Arch. Int. Med. 116:95, 1965.
- 10) Wagner, H.N. and Mishkin, F.: "The Liver" in Principles of Nuclear Medicine. Saunders, 1968.
- 11) 李章圭: 放射性同位元素을 利用한 癌의 早期診斷. 大韓醫學協會誌, 13:287, 1969.
- 12) Shaefer, J. and Schiff, L.: Liver function tests in metastatic tumor of the liver. Gastroenter. 49:360, 1965.
- 13) Cheorqhesu, B., Jovin, G., Pavel, D., Hoanca, O., Marculescu, L., Suseanu, I and Sparchez, T.: Interpretation of scintigraphic changes during chronic hepatitis and cirrhosis of the Liver. Medical Radioisotope Scintigraphy 2: 517, I.A.E.A.
- 14) 張高昌, 韓沁錫: 肝硬變症의 肝走像判讀에 있어 서의 評點適用에 關한 臨床的研究. 大韓核醫學雜誌 4:111, 1970.
- 15) 津屋旭: 肝ヌキヤニンクーンチカメラを 中心として. 癌の臨床, 15:233, 1969.
- 16) 裴成鎬, 徐德洙, 金大弘, 李萬喜, 李澈相, 都相禧: 肝走查에 依한 韓國人の 正常肝臟의 形態 및 크기에 關한 研究. 大韓內科學會雜誌, 12:829, 1969.
- 17) Wilson, G.A. and Keyes, J.W. Jr.: The significance of the liver-spleen, uptake ratio in liver scanning J.N.M. 15:593, 1974.

»張高昌外 論文 寫真附圖 및 說明«

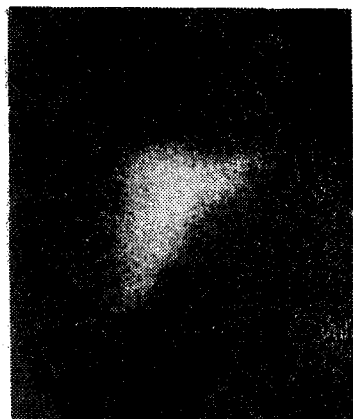


Fig. 3. Type 1(1-1).

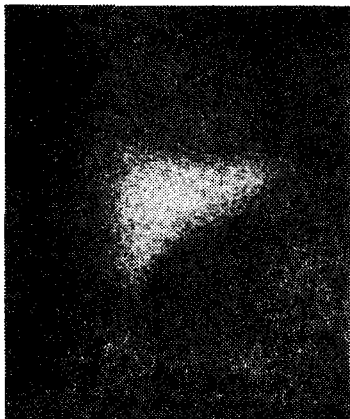


Fig. 4. Type 2(1-2).

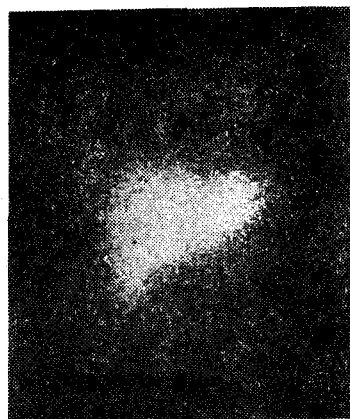


Fig. 5. Type 3(-3).

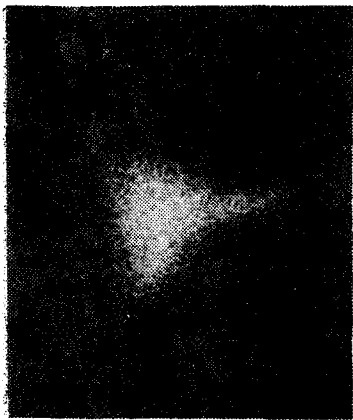


Fig. 6. Type 4(2-1).

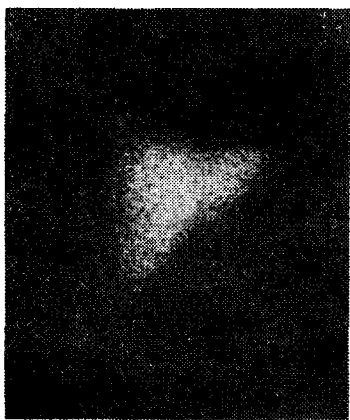


Fig. 7. Type 5(2-2).

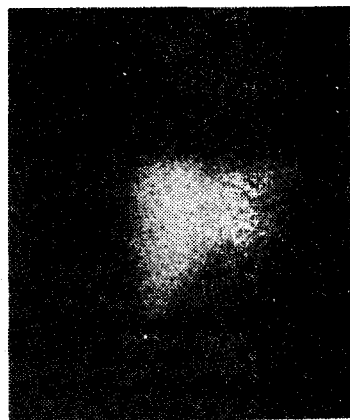


Fig. 8. Type 6(2-3)

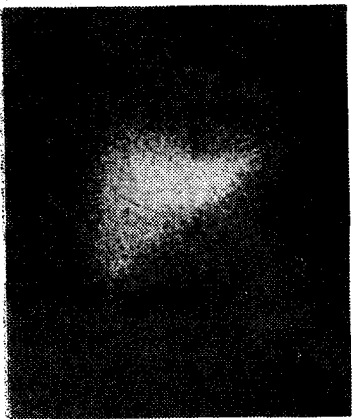


Fig. 9. Type 7(3-1).

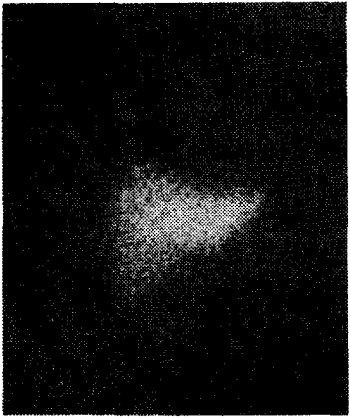


Fig. 10. Type 8(3-2)



Fig. 11. Type 9(3-3)